УДК 629.735.45.035.6

НАПОРНАЯ ТЕОРИЯ НЕСУЩЕГО ВИНТА ВЕРТОЛЕТА

С.П. ЛИСИН

(ОАО «Роствертол»)

Предложена новая теория определения основных аэродинамических характеристик воздушного винта. **Ключевые слова:** напорная теория, несущий винт, тяга.

Введение. Впервые предположение о подобии аэродинамических характеристик лопасти несущего винта (НВ) вертолета и крыла самолета было высказано С.К. Джевецким в 1892 г. [1]. Это позволило предположить, что на лопасти винта и крыле возникают сходные аэродинамические силы, а это значит, что к воздушному винту можно применить теорию подъемной силы, разработанную для крыла Н.Е. Жуковским совместно с С.А. Чаплыгиным. Над решением этой проблемы в начале двадцатого столетия работали Н.Е. Жуковский, Б.Н. Юрьев, Г.Х. Сабинин. Однако в то время сделать этого не удалось. В настоящей работе сделана попытка решить эту задачу.

Основные положения напорной теории. Для определения подъемной силы крыла самолета вычислим скоростной напор

$$q_{\kappa} = \frac{\rho V^2}{2}, \tag{1}$$

где V – скорость полета самолета; ρ – плотность воздуха на расчетной высоте.

Определим скоростной напор для винта вертолета

$$q_{\rm B} = \rho \frac{(0.5U_{\rm KR})^2}{2}$$
, (2)

где $U_{\rm kn}$ – окружная скорость конца лопасти вертолета.

Получим подъемную силу крыла самолета

$$Y = C_{y} \frac{\rho V^{2}}{2} S, \qquad (3)$$

где C_v – коэффициент подъемной силы крыла самолета; S – площадь крыла самолета.

Вычислим тягу несущего винта вертолета

$$P_{\rm HB} = C_{\gamma,\rm cp} \rho \frac{(0,5U_{\rm KR})^2}{2} F_{\rm n}, \tag{4}$$

где $C_{y,cp}$ — среднее значение коэффициента подъемной силы комлевого и концевого сечений лопасти несущего винта (НВ) вертолета (определяется по таблице аэродинамических профилей

[3] и имеет вид $C_{y,cp} = \frac{C_{y,cont} + C_{y,cont}}{2}$); F_{π} — суммарная площадь оперенной части лопастей вертолета

$$F_{\Pi} = L_{\text{o.ч.}\Pi}Bz$$
,

где $L_{_{0,4,7}}$ – длина оперенной части лопасти; B – хорда лопасти; z – число лопастей.

Зависимости (1) – (4) подтверждают предположение С.К. Джевецкого о подобии аэродинамических характеристик лопасти несущего винта вертолета и крыла самолета.

В основе разработанной напорной теории воздушного винта (НТВВ), и в частности НВ вертолета, лежит определение скоростного напора на оперенной части лопасти (2), а также геометрических параметров лопасти НВ.

Тогда выражение (4) можно представить:

$$P_{HB} = C_{y,cp} \rho \frac{(0,5U_{KR})^2}{2} L_{o,u,n} Bz .$$
 (5)

Для определения реактивного момента (РМ) НВ воспользуемся формулой:

$$M_{p} = C_{x.cp} \frac{\rho(0,5U_{kn})^{2}}{2} F_{n}R, \qquad (6)$$

где $C_{x.\text{ср}}$ — средний коэффициент лобового сопротивления лопасти, $C_{x.\text{ср}} = \frac{C_{x.\text{компл}} + C_{x.\text{компл}}}{2}$, опре-

деляется по таблице аэродинамических профилей [3]; R – радиус HB.

Определим расчетную мощность двигателя

$$N_{\rm U} = P_{\rm HB} 0.5 U_{\rm \kappa n} \,, \tag{7}$$

а также реальную мощность двигателя

$$N_{P} = N_{II}G_{N}, \qquad (8)$$

где G_N — весовой коэффициент мощностной безопасности, введен автором, $G_N = \frac{N_P}{N_U}$.

Определим скорость индуктивного потока воздуха в плоскости вращения НВ

$$V_{i1} = \frac{U_{kn}C_{y.cp}}{\Pi}, \tag{9}$$

где Π — коэффициент загрузки НВ, величина обратная коэффициенту заполнения σ , $\Pi = \frac{P_{\rm HB} \ / \ F_{_{\rm HB}}}{P_{\rm HB} \ / \ F_{_{\rm HB}}} \ ,$ где $F_{\rm HB} = \pi R^2$ — площадь ометаемой поверхности НВ.

Тогда

$$V_{i1} = U_{KD} \sigma C_{V,CD}. \tag{10}$$

Скорость индуктивного потока на расстоянии (1,5-2)R [4] от HB

$$V_{i2} = 2V_{i}$$
. (12)

С помощью НТВВ была определена очень важная зависимость между весовым расходом воздуха для заданного НВ и его тягой. Эта зависимость названа автором коэффициентом приемистости тяги винта \mathcal{Z}_t , размерность — секунда, с.

$$Z_t = \frac{\Theta_m}{P_{HR}}, \tag{13}$$

где Θ_m – весовой расход воздуха НВ на заданной высоте:

$$\Theta_m = \Theta_V \gamma \,, \tag{14}$$

где Θ_V — объемный расход воздуха на заданной высоте, $\Theta_V = F_{HB} V_{i2}$; γ — удельный вес воздуха на заданной высоте.

Коэффициент приемистости тяги Z_t зависит от весового расхода воздуха на расчетной высоте и имеет тенденцию к уменьшению с увеличением нагрузки на HB при F_{HB} = const, т. е. если

$$\left(\frac{P_{HB}}{F_{HB}}\right)_1 > \left(\frac{P_{HB}}{F_{HB}}\right)_2$$
, To $Z_{t1} > Z_{t2}$.

Используя Z_t , определим расчетную мощность двигателя

$$N_{U} = \frac{\Theta_{m}}{Z_{\star}} \frac{0.5V_{i2}}{\sigma}, \tag{15}$$

где σ — коэффициент заполнения НВ реактивного момента НВ, $\sigma = \frac{F_{\rm HB}}{F}$.

Тогда реактивный момент

$$M_{P} = C_{x.cp} \frac{(0.5V_{i1}/\sigma)^{2}}{2} F_{n}R.$$
 (16)

Тяга несущего винта

$$P_{\rm HB} = C_{y.{\rm cp}} \rho \frac{(0,5V_{i1}/\sigma)^2}{2} F_{\pi}. \tag{17}$$

Таблица 1

В табл. 1 представлены значения коэффициента тяги для различных скоростей индуктивного потока V_{i2} и различных значений диаметров НВ для вертолетов Ми-2, Ми-24, Ми-26.

Значения коэффициента приемистости тяги Z_{tr} с

 V_{i2} , м/с
 Диаметр несущего винта, м

 14,5 (Ми-2)
 17,4 (Ми-24)
 32 (Ми-26)

 19
 1,1

 38,4
 1,0

 42,2
 0,8

Напорная теория воздушных винтов позволяет с помощью коэффициента приемистости тяги Z_t и скорости индуктивного потока определить основные характеристики несущего винта:

- объемный расход воздуха Θ_{V} ;
- весовой расход воздуха Θ_m ;
- тягу двигателя P_{HB} ;
- реактивный момент винта M_p;
- расчетную мощность двигателя N_U .

Алгоритм определения основных характеристик несущего винта вертолета.

- 1. Зададим радиус несущего винта R и скорость индуктивного потока V_{i2} .
- 2. Определим:
- площадь ометаемой поверхности $F_{HB} = \pi R^2$, м²;
- объемный расход воздуха $\Theta_V = F_{HB}V_{i2}$, м³/c;
- весовой расход воздуха $\Theta_m = F_{HB}V_{i2}\gamma$, кH/c;
- коэффициент приемистости Z_t (табл. 1);

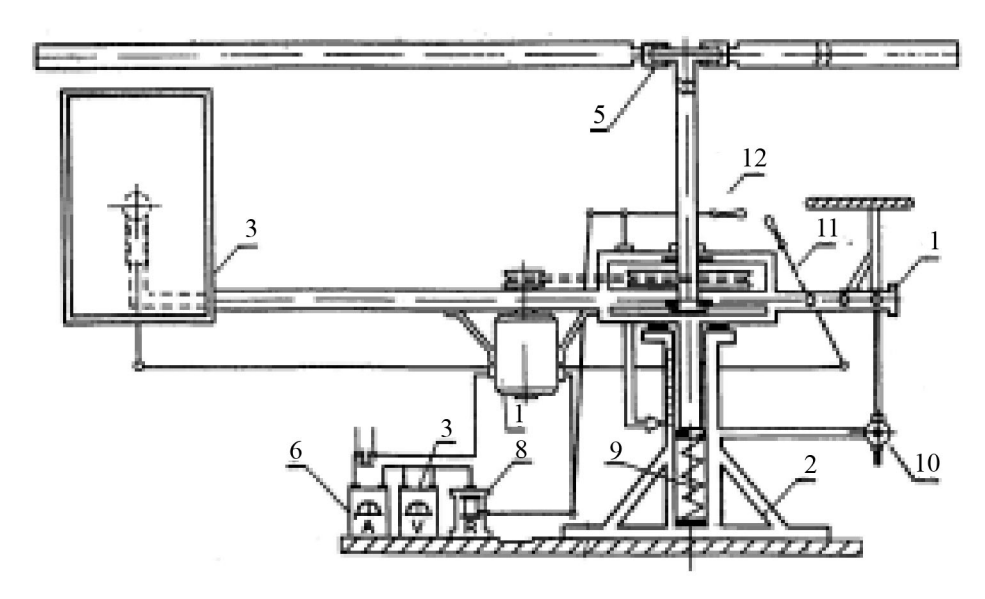
– тягу НВ
$$P_{\text{HB}} = \frac{\Theta_m}{Z_t}$$
, кН;

- расчетную мощность двигателя $N_U = \frac{\Theta_m}{Z_t} \frac{0.5V_{i2}}{\sigma}$, кВт;
- по атласу аэродинамических характеристик крыльевых профилей средний коэффициент лобового сопротивления лопасти [3] $C_{x,cp}$;

– реактивный момент
$$M_p = C_{x.cp} \frac{(0.5V_{i1}/\sigma)^2}{2} F_n R$$
, кН·м.

Достоверность напорной теории воздушных винтов была проверена на специально выполненной экспериментальной установке (ЭУ) (см. рисунок).

Кроме этого было проведено исследование статистических данных вертолетов, имеющих взлетный вес от 3,5 т до 56 т (Ми-2, Ми-24, Ми-26).



Экспериментальная установка по определению потребной мощности двигателя, силы тяги и реактивного момента:

1 — подвижная часть установки; 2 — неподвижная часть установки; 3 — стабилизатор для парирования реактивного момента HB; 4 — электродвигатель ($N_{\text{ном}} = 4,3 \text{ кВт}$); 5 — несущий винт (d = 3,7 м); 6, 7 — амперметр и вольтметр для замера потребной мощности двигателя; 8 — реостат для регулировки мощности двигателя; 9 — оттарированная пружина для замера тяги несущего винта; 10 — динамометр для замера реактивного момента несущего винта; 11 — ручка управления стабилизатором;

12 – ручка управления электродвигателем

Данные исследования приведены в табл. 2. Среднестатистическая погрешность между замеренными и расчетными данными не превышает погрешности измерений.

Таблица 2 Статистические и экспериментальные данные НВ и ЭУ

Cratice in skenepin erranbible dannible fib in 35				
Тип вертолета и ЭУ	Параметры НВ	Статистические данные вертолетов и замеренные параметры ЭУ	Расчетные данные (по HTBB)	Погрешность параметра, %
ЭУ σ = 0,06	n = 6,5 o6/c	P = 1,40 кН	P = 1,39 кН	0,99
	R = 1,85 M	M _p = 1,25 кН·м	M _p = 1,23 кН·м	0,98
	<i>L</i> = 1,6 м	$N_{\text{n.d}} = 6,5 \text{ kBT}$	$N_{\text{п.д.}} = 6,5 \text{ кВт}$	0
	<i>в</i> =0,16 м, <i>Z</i> =3	$V_{i2} = 13 \text{ m/c}$	$V_{i2} = 12,5 \text{ m/c}$	0,96
Ми-2 σ = 0,06	n = 3,1 об/с	P = 35,0 кН	<i>P</i> = 34,1 кН	0,97
	R = 7,25 M	M _p = 16,0 кН·м	M _p = 16,3 кН·м	0,98
	L = 6,4 м	<i>N</i> _{п.д.} =2·350 л.с. = 514,2 кВт	$N_{\text{п.д}} = 352 \text{ кВт}$	-
	<i>в=</i> 0,41 м, <i>Z</i> =3	$V_{i2} = 19.0 \text{ m/c}$	$V_{i2} = 18,7 \text{ m/c}$	0,95
Ми-24 σ = 0,06	n = 4,0 об/с	P = 115,0 кH	P = 113,0 кН	0,98
	R = 8,6 M	$M_p = 105,0 \text{ kH} \cdot \text{M}$	M _p = 107,0 кН·м	0,98
	<i>L</i> = 7,2 м	<i>N</i> _{п.д} = 2·2200 л.с. = 3235 кВт	$N_{\text{п.д}} = 1480 \text{ кВт}$	0,9
	<i>в=</i> 0,58 м, <i>Z</i> =5	$V_{i2} = 38.0 \text{ m/c}$	$V_{i2} = 38,8 \text{ m/c}$	0,97
Ми-26 σ = 0,06	n = 2,1 об/с	<i>P</i> = 560,0 кН	<i>P</i> = 556,95 кН	0,99
	R = 16,0 M	M _p = 750,0 кН·м	M _p = 752,0 кН м	0,99
	L = 13,3 м	<i>N</i> _{п.д} = 2·11500 л.с. = 16911 кВт	$N_{\text{п.д}} = 8500 \text{ кВт}$	0,99
	<i>в=</i> 0,8 м, <i>Z</i> = 8	$V_{i2} = 42 \text{ m/c}$	$V_{i2} = 42,2 \text{ m/c}$	0,97

Выводы.

- 1. Из формул (4), (5), (8), (9) следует, что в основе напорной теории воздушных винтов лежит скоростной напор, подобный скоростному напору крыла.
- 2. Параметр $0.5U_{_{\rm KJ}}$ является основным в напорной теории воздушного винта и заменяет параметр скорости полета самолета в скоростном напоре крыла.

- 3. Сравнение основных характеристик, полученных на ЭУ, с расчетными и статистическими данными вертолетов Ми-2, Ми-24, Ми-26 (табл. 2) свидетельствует, что разница в значениях не превышает погрешности измерений.
- 4. На основании предложенной напорной теории воздушных винтов можно разработать простой и достаточно точный метод определения основных характеристик воздушных винтов.

Библиографический список

- 1. Мхитарян А.М. Аэродинамика / А.М. Мхитарян. М.: Машиностроение, 1970.
- 2. Арлазоров М.С. Жуковский / М.С. Арлазоров. М.: Молодая гвардия, 1959.
- 3. Кашафутдинов С.Т. Атлас аэродинамических характеристик крыльевых профилей / С.Т. Кашафутдинов, В.Н. Лунин; Сибир. науч.-иссл. ин-т авиации им. С.Н. Чаплыгина. Новосибирск, 1994.
- 4. Алкян О.М. Аэродинамика и динамика полета вертолета / О.М. Алкян, В.Ф. Ромасевич, В.С. Совгиренко. М.: Военное изд-во МО СССР, 1973.
 - 5. Прицкер Д.М. Аэромеханика / Д.М. Прицкер, В.А. Турьян. М.: Оборонгиз, 1960.
- 6. Вертолеты. Расчет и проектирование / М.Л. Миль [и др.]. Ч. 1. М.: Машиностроение, 1966.
- 7. Тищенко Н.Н. Вертолеты / Н.Н. Тищенко, А.В. Некрасов, А.С. Радин. М.: Машиностроение, 1976.
- 8. Ромасевич В.Ф. Практическая аэродинамика вертолетов / В.Ф. Ромасевич, Г.А. Самойлов. М.: Военное изд-во МО СССР, 1980.
- 9. Богданов Ю.С. Конструкция вертолетов / Ю.С. Богданов, Р.А. Михеев, Д.Д. Скулков. М.: Машиностроение, 1990.

Материал поступил в редакцию 07.07.11.

References

- 1. Mxitaryan A.M. Ae`rodinamika / A.M. Mxitaryan. M.: Mashinostroenie, 1970. In Russian.
- 2. Arlazorov M.S. Zhukovskij / M.S. Arlazorov. M.: Molodaya gvardiya, 1959. In Russian.
- 3. Kashafutdinov S.T. Atlas ae`rodinamicheskix xarakteristik kry`l`evy`x profilej / S.T. Kashafutdinov, V.N. Lunin; Sibir. nauch.-issl. in-t aviacii im. S.N. Chaply`gina. Novosibirsk, 1994. In Russian.
- 4. Alkyan O.M. Ae`rodinamika i dinamika polyota vertolyota / O.M. Alkyan, V.F. Romasevich, V.S. Sovgirenko. M.: Voennoe izd-vo MO SSSR, 1973. In Russian.
- 5. Priczker D.M. Ae`romexanika / D.M. Priczker, V.A. Tur`yan. M.: Oborongiz, 1960. In Russian.
- 6. Vertolyoty`. Raschyot i proektirovanie / M.L. Mil` [i dr.]. Ch. 1. M.: Mashinostroenie, 1966. In Russian.
- 7. Tishhenko N.N. Vertolyoty` / N.N. Tishhenko, A.V. Nekrasov, A.S. Radin. M.: Mashinostroenie, 1976. In Russian.
- 8. Romasevich V.F. Prakticheskaya ae`rodinamika vertolyotov / V.F. Romasevich, G.A. Samojlov. M.: Voennoe izd-vo MO SSSR, 1980. In Russian.
- 9. Bogdanov Yu.S. Konstrukciya vertolyotov / Yu.S. Bogdanov, R.A. Mixeev, D.D. Skulkov. M.: Mashinostroenie, 1990. In Russian.

PRESSURE THEORY OF HELICOPTER ROTOR

S.P. LISIN

(JSC «Rostvertol»)

A new theory of determining the principal aerodynamic characteristics of the propeller is offered. **Keywords:** pressure theory, main rotor, thrust power.